

III-100 降雨下における桜島火山灰層の侵食崩壊機構について

鹿児島高専 正員 村田 秀一 正員 ○ 因林 巧
九州 大学 正員 山内 豊勝 正員 後藤 恵之輔

1.まえがき 桜島は標高1100mの活火山で、山頂より標高500m位までは、平均20度の傾斜で古期火山噴出物と降下火山灰からなり、標高500~200mまでの地帯は、平均20度前後の傾斜で、新期火山噴出物による熔岩原となっている。また、標高200m以下の地帯は、5~10度以下の山麓緩傾斜面あるいは扇状地斜面となっている。このような地形、地質の要因のもとで、特に標高400~500m以下の裸地帯においては激しい総浸食と表面侵食が著しく、火山灰砂は降雨に伴つて風状谷を土石流的な動きを示しつつ流下し、山麓部に至つて放出されている。本研究は、火山灰斜面に対し、人工降雨実験を実施し、降雨下における火山灰層の侵食崩壊機構について検討したものである。

2.実験方法と試料の性質 本実験に用いた火山灰砂は、桜島東側の地獄河原で採取した粒径10mm以下のもので、比重は2.41、粒度組成は沙分40%、砂分43%、泥分6%である。実験は、図-1に示すような形状および寸法の斜面を形成した後、雨滴型降雨装置を用い、降雨強度60, 80, 100, 150mm/hの雨を降らせた。また、傾斜角 $\theta_1 = 20^\circ$, $\theta_2 = \theta_3 = \theta_4 = 10^\circ$ と $\theta_1 = 20^\circ$, $\theta_2 = \theta_3 = \theta_4 = 25^\circ$ の2種類とし、斜面底部に透水層(ボラ)を5cm設けた条件と設けない条件について実験を行つた。

3.実験の結果および考察 表-1に実験の条件と結果を示す。降雨強度150mm/hについてのみ侵食が発生したわけではあるが、一連のパターンとして、降雨開始後間もなく表面流が中央谷間に集中し始め、それにともない微粒子の移動が生じ、ついで表面流の増加によって粒径の大きな土粒子が流送され、加速度的に侵食が天端部より上流側に何て発達する様子が認められた。図-2, 3は、降雨時間と侵食実行長さ、および流出土量の関係をそれぞれ示したものである。天端部より測定した侵食実行長さはどの条件についても時間の経過とともに一定値を示している。中でも傾斜角の大きなものほど、また初期含水比の高いものは終局的な侵食実行長さはより大きな値を示すようである。このことは、流出土量に関してもほぼ同様なことが言える。また、図中④は侵食実行長さが降雨初期で定常化しているのに對し、流出土量は定常化しない状態を表わしている。これは幅方向

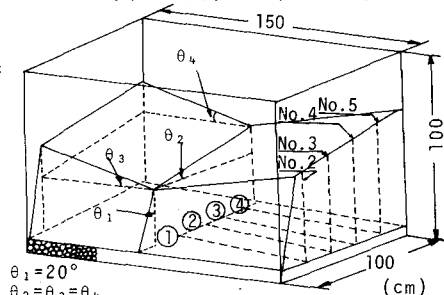
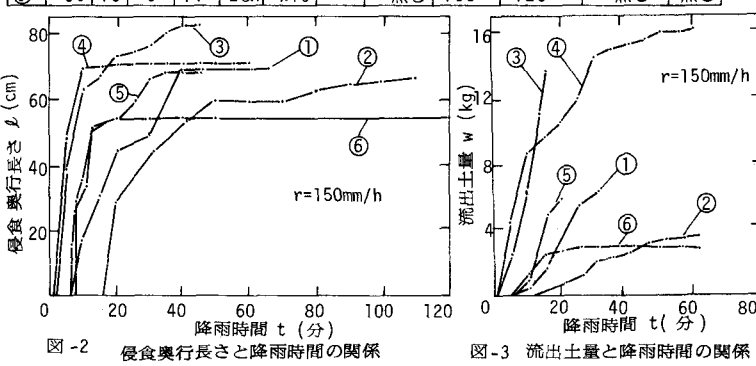
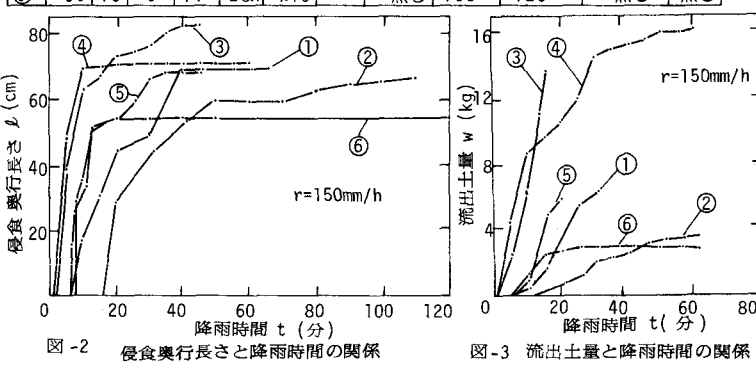


図-1 斜面の形状および寸法

表-1 実験の条件と結果

実験番号	降雨強度(h)	傾斜角(°)	透水層(cm)	含水比(%)		湿潤密度(g/cm³)	侵食発生時間(分)	浸透水発生時間(分)	間けき水圧発生時間(分)	崩壊発生時間(分)	侵食断面形状
				前	後						
①	150	25	5	16	27.4	1.42	1.60	7	35	34, 62	U-V
②	150	10	5	16	26.2	1.43	1.64	7	30	無し	U
③	150	25	5	21	26.1	1.52	1.67	2	14	24	U-V
④	150	10	5	21	23.8	1.44	1.78	2	14	25	V
⑤	150	10	0	11	28.4	1.44	1.78	7	22	30, 40	U-V
⑥	150	10	5	11	27.3	1.40	1.75	5	11	25	U
⑦	100	10	5	11	27.2	1.40	1.75	無し	46	33	30, 35
⑧	80	10	5	11	27.8	1.40	1.84	無し	75	36	48, 58
⑨	60	10	5	11	28.1	1.40	-	無し	105	120	無し



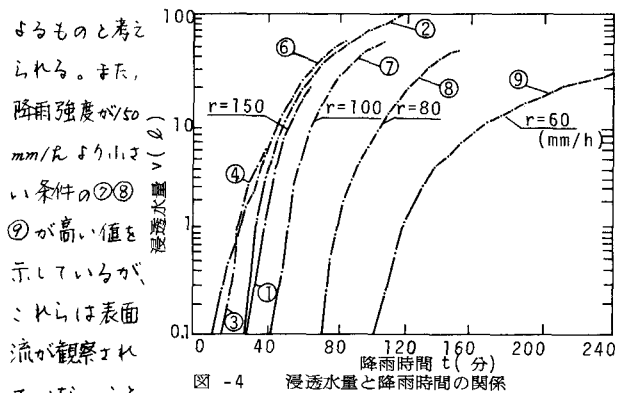


図-4 漫透水量と降雨時間の関係

よらものと考えられる。また、降雨強度が 50 mm/h より小さない条件の⑦⑧が高い値を示しているが、これらは表面流が観察されていなかったことから、ほとんどの侵食が漫透水となり斜面の飽和度が高まつてこじよるものと考えられる。図-6は侵食深さと侵食幅の比と降雨時間の関係を示したものである。降雨初期には、どの条件も比が 1 以上の値を示しているが、しだいに 1 以上の値に定常化するものと、1 以下になるものに分類される。前者は、侵食幅に対して、深さが卓越した侵食形態を意味し、これらの条件のほとんどの侵食横断面形状が U 字形を呈していた。これらのこじより U 字形侵食は主として深さ方向に侵食が進んだ場合に発生し、V 字形侵食は幅方向、深さ方向ともに進行して場合に発生するものと考えられる。また、侵食横断面形状が変動した場合も多く、それらのほとんじが U 字形侵食から V 字形侵食へ移行していく。

図-7は No.2 断面における侵食横断面積と降雨時間の関係を示したものである。透水層を有しない条件⑤と傾斜角の大きな 25° の条件③において増加の一途をたどり、傾斜角の小さな 10° の条件②④⑥においては定常化している。このことは、斜面の表面流の量と速度に支配されると考えられるが、今回は表面流量の測定を完全には実施できおらず考察されない。ただし、表面流は傾斜角の大きな場合に多く観察されている。図-8(a), (b) に代表的な侵食の経時変化を示す。(a) は、V 字形侵食の例で、幅方向に侵食が著しく、平面的には樹枝状侵食が発達するものと考えられる。(b) は U 字形侵食の例で、主として深さ方向に侵食し、平面的には棒状に侵食が進行するものと考えられる。

4.まとめ 以上まとめると次のことが言えるようである。1) 侵食は、まず降雨初期に著しく奥行方向に発達し、深さ方向への侵食が幅方向より卓越する場合と、幅方向への侵食が卓越する場合がある。2) 奥行方向への侵食が著しく時期から間けき水圧が発生し始めながら間けき水圧と侵食との相関は明らかでない。3) 斜面傾斜角の大きさのまことに侵食横断面積は大きくなり定常化していく。4) 侵食形態は降雨に伴って、平面的には棒状侵食から樹枝状侵食となり、横断面的にはおおむね、U 字形侵食から V 字形侵食へ移行する。

あとがき 本研究は鹿児島県桜島地域学術調査協議会による研究に参加して得られた成果の一部であることを付記する。

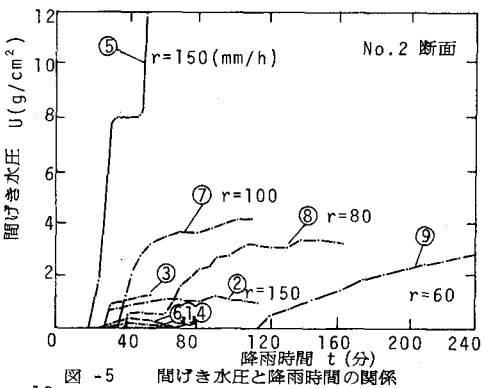


図-5 間けき水圧と降雨時間の関係

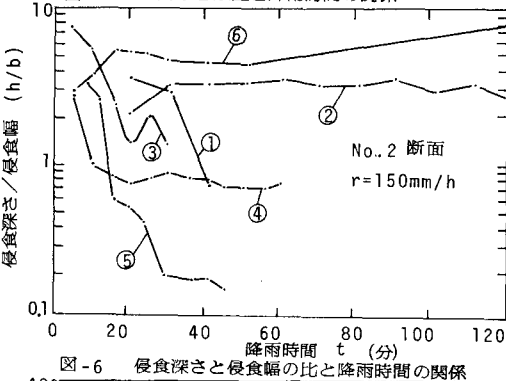


図-6 侵食深さと侵食幅の比と降雨時間の関係

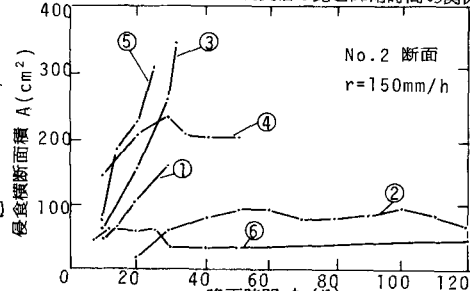


図-7 侵食横断面積と降雨時間の関係

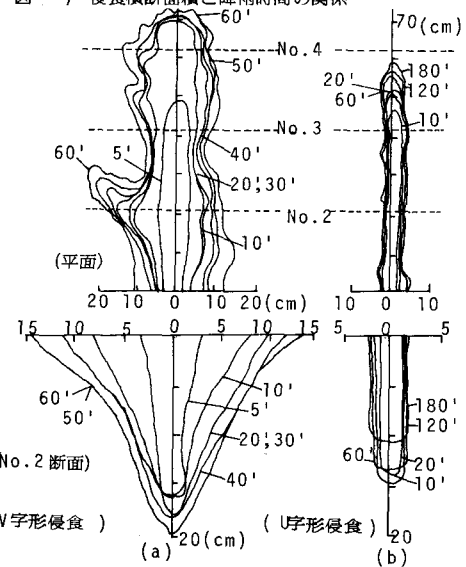


図-8 代表的な侵食の経時変化